

## بررسی رفتار تیرهای لانه زنبوری مدفون در بتون

علی محمد مومنی\*

دانشکده مهندسی عمران، دانشگاه صنعتی اصفهان

(دریافت مقاله: ۸۲/۵/۷ - دریافت نسخه نهایی: ۸۳/۶/۲۸)

**چکیده** – به علت استفاده گسترده از سقفهای تیرچه و بلوک و همچنین به علت مسائل اقتصادی و عدم وجود تنوع کافی در نیمرخهای نورد شده، کاربرد تیرهای لانه زنبوری در ساختمانهای با اسکلت فلزی رواج زیادی یافته است. این تیرها در هنگام بتون ریزی به صورت اجتناب ناپذیر در بتون مدفون می‌شوند که باعث ایجاد اثرات کمکی قابل ملاحظه از جمله حذف اثرات لنگر ثانویه، افزایش ظرفیت باربری و بهبود رفتار آنها در خمی و برش می‌شود. به علت عدم انجام تحقیقات کافی بر روی تیرهای لانه زنبوری مدفون در بتون، از میان روش‌های مختلف طراحی این تیرها، نمی‌توان روش اقتصادی و مناسبی را توصیه کرد. لذا در این تحقیق ابتدا پنج روش مختلف طراحی ذکر می‌شود. یکی از روش‌های اشاره شده روش پلاستیک است که در مورد آن توضیح کامل داده شده و معادلات مربوط به آن ارائه می‌شود. سپس نتایج حاصل از انجام آزمایش بر روی هشت نمونه تیر لانه زنبوری مدفون در بتون ذکر شده و نتایج حاصله از آنها با روش‌های مختلف نظری مقایسه و ضریب اطمینان هر روش و نیز روش اقتصادی برای طراحی این تیرها ارائه می‌شود.

**واژگان کلیدی:** سقفهای تیرچه و بلوک، لنگر ثانویه، ظرفیت باربری، تحلیل خمیری

## Behavior of Castellated I Beams Encased in Concrete

A. M. Momeni

Department of Civil Engineering, Isfahan University of Technology

**Abstract:** Five methods are introduced for design of castellated I beams encased in concrete. One of the methods, plastic analysis, is thoroughly explained and the relevant equations are developed. Eight castellated I beams encased in concrete are made and tested. The theoretical design methods are all compared with the test results and the safety factor for each method is calculated. The results show that the plastic method of analysis and design is the most economical, which also gives a reasonable safety factor against beam failure.

**Keywords:** Castellated beam, Encased in concrete, Safety Factor, Beam failure, Plastica nalysis

\* – استادیار

## فهرست علائم

ارتفاع سوراخ تیر لانه زنبوری	$h$	ارتفاع بلوك فشاری تنش	$a$
ارتفاع نیمرخ زنبوری	$H$	سطح مقطع نیمرخ زنبوری	$A_b$
ارتفاع کلی مقطع مدفون در بتن	$H_t$	سطح مقطع بال نیمرخ زنبوری شده	$A_f$
طول دهانه تیر مرکب	$L$	سطح مقطع میلگرد موجود در مقطع	$A_{sr}$
طول دهانه کناری	$L_{ext}$	نصف سطح مقطع نیمرخ زنبوری	$A_t$
طول دهانه میانی	$L_{int}$	عرض مقطع مدفون در بتن	$b$
لنگر مقاوم خمیری منفی	$M_p^-$	عرض مؤثر دال	$b_e$
لنگر مقاوم خمیری مثبت	$M_p^+$	Tیر IPE لانه زنبوری شده مدفون در بتن	CCIE
ضخامت بال نیمرخ زنبوری	$t_f$	Tیر IPE لانه زنبوری شده	CIPE
ضخامت جان نیمرخ زنبوری	$t_w$	مقاومت فشاری نمونه استوانه‌ای ۲۸ روزه بتنى	$f_c'$
بار فروریختگی در حالت نهایی	$W_u$	. تنش حد تسليم فولاد	$F_y$
فاصله تشکیل مفصل خمیری از تکیه‌گاه	$\alpha L$	تنش حد تسليم میلگرد	$F_{yr}$

می‌شود و از وجود بتن محصور کننده تیر نیز صرف‌نظر می‌شود.

تنش مجاز نرمال را در این روش  $F_y / 60$  در نظر می‌گیریم.  
روش ۲- این روش با روش اول یکسان است ولی از وجود  
لنگر ثانویه در نیر فولادی صرف‌نظر می‌کنیم. تحقیقات  
نشان داده است [۱] که وجود بتن در داخل سوراخها از  
اثر لنگر ثانویه به مقدار زیادی می‌کاهد.

روش ۳- در این روش از لنگر ثانویه و بتن محصور کننده  
صرف‌نظر می‌کنیم و تنش مجاز کششی در تیر فولادی  
مدفون در بتن را طبق آیین نامه فولاد ایران [۳] برابر  
 $F_y / 760$  در نظر می‌گیریم. طراح باید اطمینان حاصل کند  
که پوشش لازم بتن برای تیر لانه زنبوری وجود دارد.  
روش ۴- در این روش از وجود لنگر ثانویه صرف‌نظر شده، از  
مقاومت کششی بتن نیز صرف‌نظر می‌شود ولی قسمت  
تحت فشار بتن را در محاسبات منظور می‌کنیم. در این  
روش بتن تحت فشار را به فولاد معادل تبدیل کرده و  
طبق آیین نامه فولاد ایران تنش مجاز کششی در فولاد را  
 $F_y / 660$  و تنش مجاز فشاری در بتن را برابر  $f_c' / 450$

## ۱- مقدمه

آزمایش‌های محدود که روی تیرهای لانه زنبوری انجام  
شده است [۱] نشان می‌دهند که پر کردن سوراخهای این نوع  
تیرها با بتن از اثرات لنگر ثانویه تا حد بسیار زیادی می‌کاهد.  
مدفون شدن این تیرها در بتن حتی می‌تواند اثرات لنگر ثانویه را  
تا حد زیادتری کاهش و ظرفیت باربری آنها را افزایش دهد.  
بنابراین استفاده از روش‌های متداول [۲] یعنی تحلیل الاستیک  
تیرهای لانه زنبوری و بدون پوشش بتنى با در نظر گرفتن اثرات  
لنگر ثانویه برای طراحی تیرهای لانه زنبوری مدفون در بتن غیر  
اقتصادی نشان می‌دهد. لذا برای دستیابی به روش اقتصادی،  
لازم به انجام آزمایش‌های بر روی این تیرها و مقایسه نتایج  
حاصل از آن با روش‌های مختلف نظری و به خصوص روش‌های  
نوین (روشهای تحلیل خمیری) است. به دنبال روش‌های نظری  
پنجمگانه تحلیل تیرهای لانه زنبوری مدفون در بتن شرح داده شده‌اند:  
روش ۱- این همان روشی است که تیرهای لانه زنبوری لخت  
و بدون پوشش بتنى را بر اساس آن طراحی می‌کنند. در  
این روش لنگر اصلی و لنگر ثانویه در محاسبات وارد

در یک تیر سراسری دهانه غیرکناری (میانی) احتیاج به تشکیل سه مفصل خمیری برای رسیدن به مکانیزم دارد، شکل (۱-ب) و از آنجایی که تشکیل تعداد مفاسل خمیری بیشتر به همان نسبت احتیاج به صرف انرژی بیشتری خواهد داشت، بنابراین اگر طول دهانه غیر کناری با طول دهانه کناری برابر باشد می توان گفت که در این شرایط همیشه ظرفیت باربری نهایی دهانه غیر کناری بزرگتر از همین ظرفیت در دهانه کناری است.

همچنین بر اساس مطالعه فوق می توان طول دهانه های غیر کناری را به اندازه ای افزایش داد که ظرفیت باربری در هر دو دهانه کناری و غیر کناری یکسان گردد. با استفاده از معادلات ظرفیت نهایی دهانه کناری و غیر کناری، معادله (۴) حاصل می شود.

$$(4) \quad L_{int} = 2\alpha L_{ext} (k\alpha + 1)$$

در این معادله  $L_{int}$  طول دهانه غیرکناری و  $L_{ext}$  طول دهانه کناری می باشد. با استفاده از اصول مطرح شده می توان برای محاسبه نقاط عطف، طبق شکل (۲)، نیز اقدام کرد. محاسبه نقاط عطف می تواند مزیتهای مختلفی به دنبال داشته باشد. این اقدام در تیرهای مرکب برای محاسبه فاصله محل قطع نظری وار میله گردها در تکیه گاههای میانی که برای افزایش لنگر مقاوم منفی کار گذاشته می شود، کاربرد خواهد داشت. فاصله نقطه عطف از تکیه گاهها و همچنین طول منطقه تحت لنگر مثبت در محاسبه مقدار نیروی مقاوم در برابر گسیختگی طولی ناشی از نیروهای وارد شده مؤثر است. سنجش این مقدار نیروی مقاوم برای مشخص شدن مرز استفاده و یا عدم استفاده از برشگیرها و محاسبه سطح مقطع میله گرد به کار رفته در تکیه گاه میانی حائز اهمیت است.

### ۳- محاسبه لنگرهای مقاوم خمیری

مقاومت خمیشی نهایی یک عضو پوشش دار را می توان با در نظر گرفتن تعادل نیروهای داخلی به دست آورد. نیروهای داخلی بتن را می توان توسط معادلات از قبل تعریف شده تنش-کرنش محاسبه کرد و نیروی فولاد را با فرض باقی ماندن

در نظر می گیریم.

روش ۵- اساس این روش، بر خلاف روشهای فوق که بر پایه رفتار الاستیک بنیان گذاری شده اند، روش خمیری است. در این روش نیز از وجود لنگر ثانویه و مقاومت کششی بتن صرف نظر شده و ضریب بار ۱/۷ برای تعیین بار مجاز تیر لانه زنبوری مدفون در بتن به کار می رود. در قسمتهای بعدی به شرح بیشتر در مورد این روش پرداخته می شود.

## ۲- تحلیل خمیری تیرهای سراسری

در این قسمت با استفاده از اصول کلی مربوط به تحلیل خمیری تیرهای سراسری، ظرفیت باربری تیرهای لانه زنبوری مدفون در بتن مورد بررسی قرار خواهد گرفت. لازم به ذکر است که به خاطر شرایط خاص مقطع محاسبه مقادیر متفاوت برای لنگر خمیری مثبت و منفی الزاماً است.

در دهانه کناری یا اولین دهانه از یک تیر سراسری، شکل (۱-الف)، به علت به وجود آمدن یک مفصل حقیقی و دو مفصل خمیری مکانیزم گسیختگی ایجاد خواهد شد، که می توان با استفاده از معادلات تعادل مقادیر بار فروریختگی<sup>۱</sup> این دهانه در حالت نهایی را محاسبه کرد [۴].

اگر دهانه کناری را پس از وقوع مکانیزم کامل از محل تشکیل مفصل خمیری داخل دهانه که به فاصله  $\alpha L$  از مفصل خمیری تشکیل می شود، جدا سازیم و روابط تعادل را به کار ببریم، ظرفیت باربری نهایی آن مطابق معادله (۱) به دست می آید.

$$(1) \quad W_u = \frac{2M_p^+}{(\alpha L)^2}$$

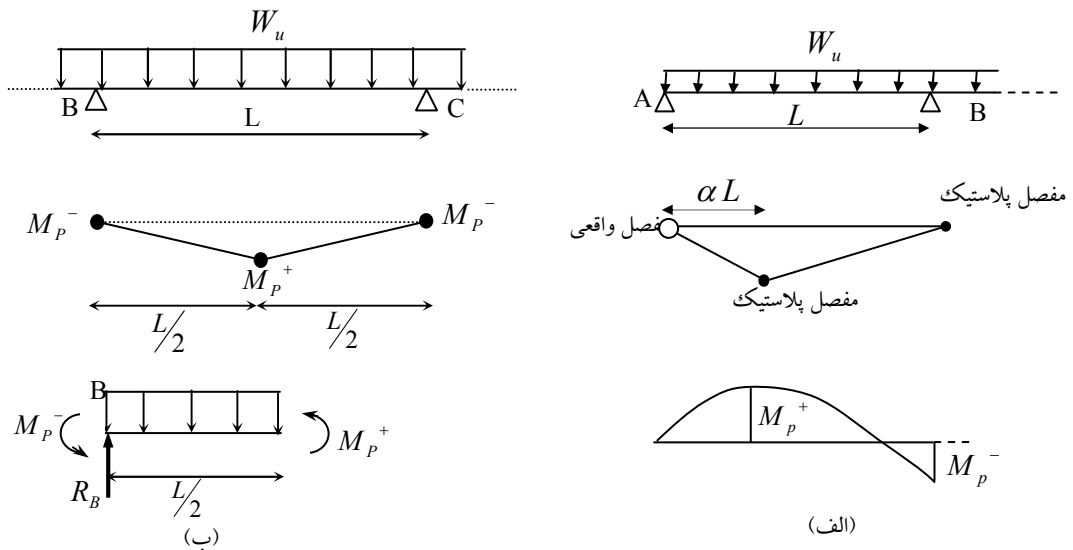
مقادیر  $\alpha$  موجود در معادله (۱) توسط معادله (۲) تعیین می شود.

$$(2) \quad k\alpha^2 + 2\alpha - 1 = 0$$

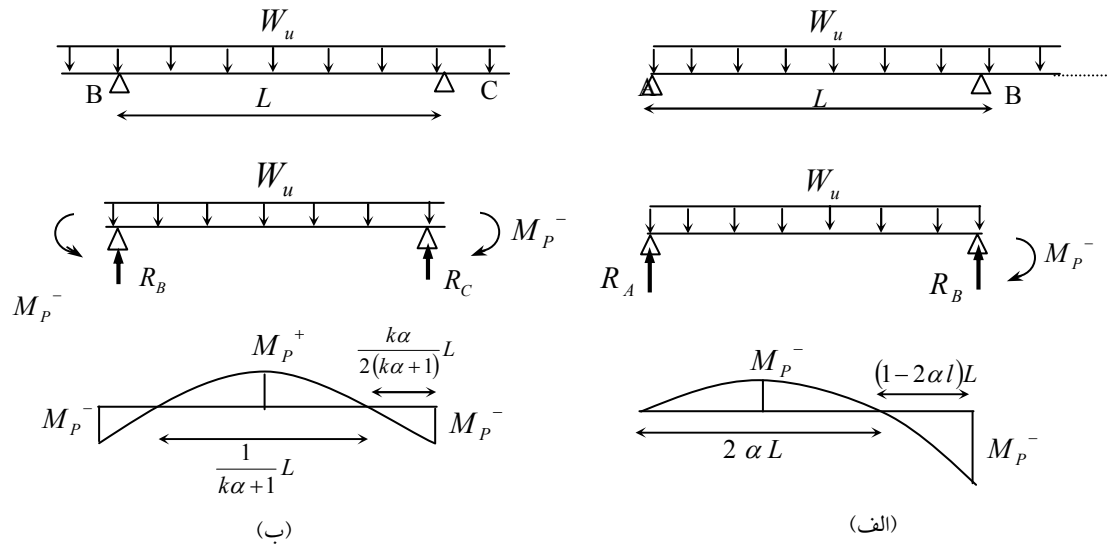
که در آن  $k = \frac{M_p^-}{M_p^+}$  است. در نهایت برای ظرفیت باربری

مجاز اسمی مطابق آین نامه فولاد آمریکا<sup>۲</sup> [۵] داریم:

$$(3) \quad W = \frac{W_u}{1.7}$$



شکل ۱- مفاصل خمیری در دهانه کناری (الف) و دهانه میانی (ب)



شکل ۲- محل نقاط عطف در دهانه کناری (الف) و دهانه میانی (ب)

تنش معادل می‌دهد که مورد قبول انسستیوی بتن آمریکا<sup>۳</sup> نیز هست [۶]. بر اساس فرضیات این آیین‌نامه، حداکثر کرنش فشاری بتن ۰/۰۰۳ و حداکثر تنش معادل در بتن به  $f_c = ۸/۸۵$  محدود می‌شوند. همچنین توزیع تنش نسبتاً پیچیده فولاد توسط توزیع تنش پلاستیک کامل جایگزین می‌شوند. همچنین از

مقاطع عرضی مسطح به صورت مسطح بعد از وقوع تغییر شکل به دست آورد. این راه حل نظری همان راهی است که در تحلیل اعضای بتن مسلح به کار می‌رود و مقاومت نظری حاصله تطابق خوبی با نتایج آزمایشگاهی نشان می‌دهد. برای ساده‌تر کردن محاسبات، توزیع تنش واقعی بتن جای خود را به بلوك فشاری

باشد و یا اینکه ارتفاع بلوک فشاری تنش بین دو قسمت سپری شکل نیمرخ فولادی زنبوری شده قرار گرفته باشد را اشاره کرد. با توجه به ابعاد و مسائل اجرائی در بین این موارد احتمال وقوع حالتی که ارتفاع بلوک فشاری تنش در محدوده جان قسمت سپری شکل تحتانی نیمرخ فولادی زنبوری شده قرار گیرد، بیشتر از حالات دیگر است. معادلات (۹) و (۱۰) مربوط به شکل ۴-الف و معادلات (۱۱) و (۱۲) مربوط به شکل ۴-ب هستند.

$$a = \frac{0.42 f_c' (A_b - 0.5 h t_w) + 0.5 h t_w F_y + A_{sr} F_{yr}}{0.85 f_c' (b - t_w) + 2 t_w F_y} \quad (9)$$

$$\begin{aligned} M_p &= 0.5 a A_f (F_y - 0.85 f_c') \\ &- 0.5 t_f \left[ A_t - t_w \left( \frac{h}{4} - a \right) \right] (F_y - 0.85 f_c') + \frac{A_f h F_y}{8} \quad (10) \\ &+ 0.5 A_t F_y \left( 2H - a - t_f - \frac{h}{4} \right) + A_{sr} F_{yr} \left( d - \frac{a}{2} \right) \\ a &= \frac{h t_w (F_y - 0.425 f_c') + 0.85 A_b f_c' + A_{sr} F_{yr}}{0.85 f_c' (b - 2 t_w) + 4 t_w F_y} \quad (11) \end{aligned}$$

$$\begin{aligned} M_p^- &= a A_f (F_y - 0.85 f_c') \\ &- t_f \left[ A_t - t_w \left( \frac{h}{4} + \frac{h F_y}{4} \left[ A_f + t_w \left( \frac{h}{4} - a \right) \right] (F_y - 0.85 f_c') - a \right) \right] \\ &+ A_t F_y \left( 2H - a - t_f - \frac{h}{4} \right) + A_{sr} F_{yr} \left( d - \frac{a}{2} \right) \quad (12) \end{aligned}$$

حال پس از بررسی نظری تیرهای لانه زنبوری به مراحل مختلف انجام آزمایش بر روی تیرهای لانه زنبوری مذکور در بتون می پردازیم.

#### ۴- بررسی مصالح مورد استفاده در ساخت تیرها

##### ۴-۱- آزمایش کشش روی نمونه های فولادی

به منظور بررسی خواص مکانیکی فولاد به کار رفته در ساخت ۸ عدد تیر لانه زنبوری مذکور در بتون، قبل از مرحله بتون ریزی تعداد ۴ عدد نمونه کششی با مشخصات مندرج در جدول شماره (۱) از بال تیرهای IPE140 و IPE160 بریده شده و در آزمایشگاه دانشکده مهندسی مواد دانشگاه صنعتی اصفهان مورد

مقاومت کششی بتون و از مقاومت فولاد در ناحیه کارسختی و اثرات لنگر ثانویه در تیرهای لانه زنبوری مذکور صرف نظر شده و همچنین فرض شده است که جوش طولی دو قطعه لانه زنبوری مقاومت کافی برای شکست خمی تیر را داشته و هیچ گونه لغزشی بین نیمرخ فولادی و بتون احاطه کننده به وجود نخواهد آمد.

بر اساس فرضیات فوق، لنگر مقاوم خمیری در دو حالت تک نیمرخ و زوج نیمرخ برای تیرهای حمال بررسی شده اند. علت بررسی زوج نیمرخ استفاده زیادی است که از اتصالات خورجینی در ساخت سازه های فولادی در ایران صورت می پذیرد.

شکل ۳-الف و ب به ترتیب تک نیمرخ و زوج نیمرخ زنبوری شده را تحت لنگر مثبت نشان می دهند. معادلات (۵) و (۶) مربوط به شکل ۳-الف و معادلات (۷) و (۸) مربوط به شکل ۳-ب است. معادله اول تعادل ارتفاع بلوک فشاری تنش تعیین شده و سپس با جایگذاری در معادله دوم تعادل مقدار لنگر مقاوم خمیری مثبت محاسبه شود.

$$\sum F = 0 \Rightarrow a = \frac{A_b F_y}{0.85 f_c' b_e} \quad (5)$$

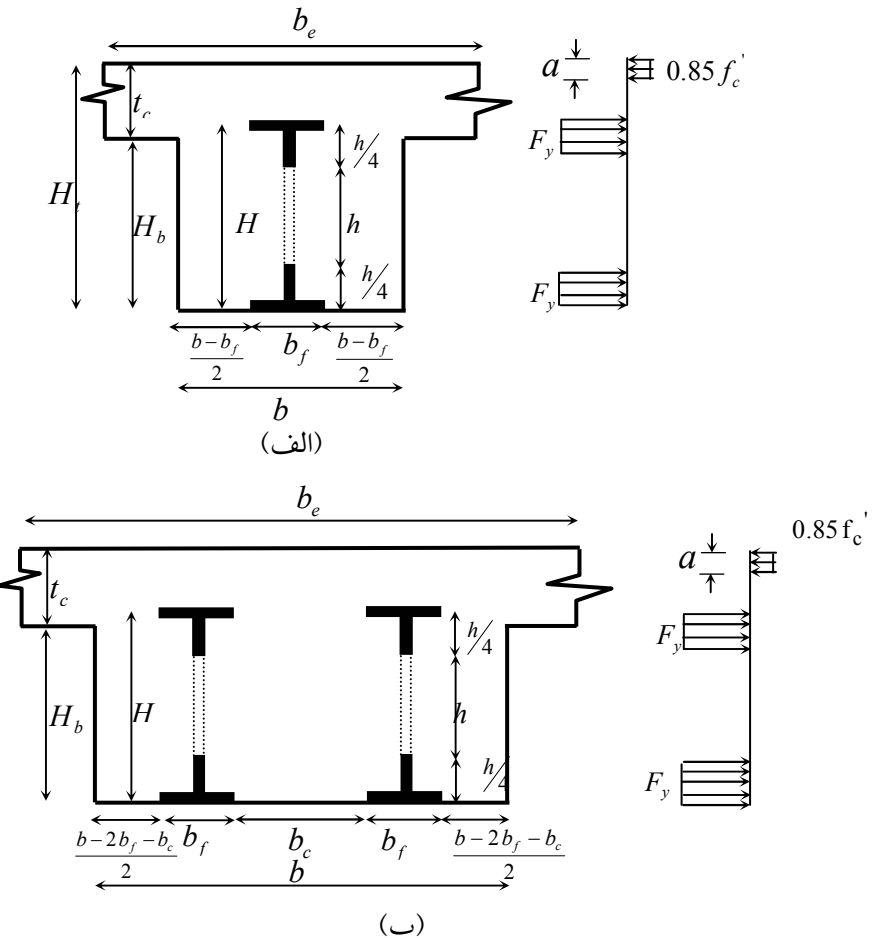
در این معادله  $b_e$  عرض مؤثر دال است و طبق آینه نامه انتستیتوی فولاد آمریکا به دست می آید.  $A_b$  سطح مقطع نیمرخ فولادی زنبوری شده در محل وسط سوراخ است.

$$\sum M = 0 \Rightarrow M_p^+ = A_b F_y \left( H_t - \frac{H}{2} - \frac{a}{2} \right) \quad (6)$$

$$\sum F = 0 \Rightarrow a = \frac{2 A_b F_y}{0.85 f_c' b_e} \quad (7)$$

$$\sum M = 0 \Rightarrow M_p^+ = A_b F_y (2H_t - H - a) \quad (8)$$

برای مقاطع شامل تک نیمرخ و زوج نیمرخ تحت لنگر منفی می توان حالات متنوعی را برای ارتفاع بلوک فشاری متصور شد. از جمله این حالات می توان به هنگامی که ارتفاع بلوک فشاری تنش از بال تحتانی نیمرخ فولادی فراتر نرفته باشد، از جان قسمت سپری شکل تحتانی نیمرخ فولادی فراتر نرفته



شکل ۳- تک نیم رخ (الف) و زوج نیم رخ (ب) لانه زن بوری تحت اثر لنگر مثبت

تیر محاسبه و در جدول (۲) درج شده است. مقاومت فشاری نمونه استوانه ای معادل ۸۰٪ مقاومت فشاری نمونه های مکعبی فرض شده است.

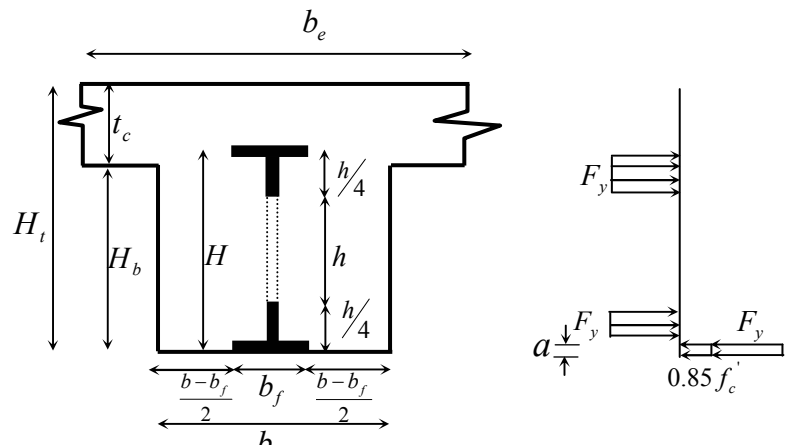
#### ۵- ساخت تیرهای لانه زن بوری مدفون در بتن

تعداد ۸ عدد تیر لانه زن بوری مدفون در بتن با تکیه گاههای ساده در آزمایشگاه دانشکده مهندسی عمران دانشگاه صنعتی اصفهان ساخته شد و مورد آزمایش قرار گرفت. بارگذاری ۵ عدد از آنها به صورت یک بار متتمرکز در وسط دهانه و بارگذاری ۳ عدد از آنها به صورت دو بار متتمرکز در یک سوم دهانه انجام گرفت. شکل (۷) مقطع و نمای طولی تیرها را همراه با محل اعمال بار نشان می دهد.

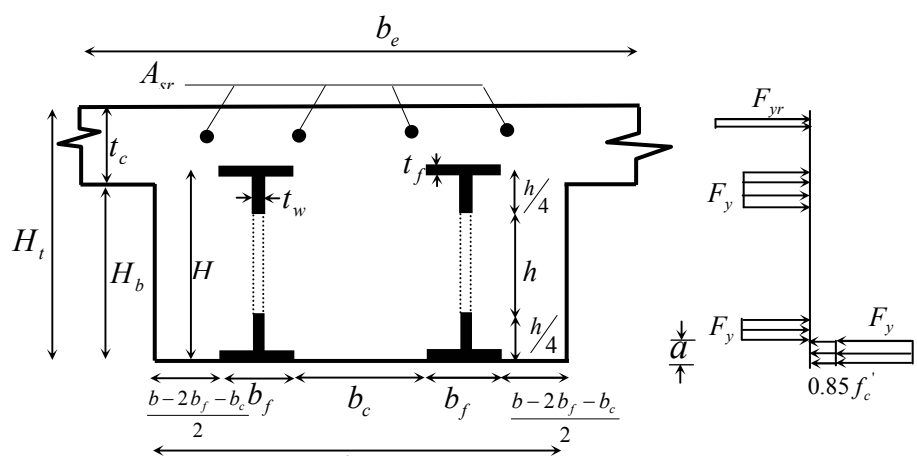
آزمایش قرار گرفت. نمودارهای نیرو - تغییر شکل این نمونه ها در شکل های (۵) و (۶) نشان داده شده است. همچنین نتایج آزمایش های کشش روی این چهار نمونه در جدول شماره (۱) درج شده است. لازم به ذکر است که هیچ یک از این نمونه ها ناحبه تسلیم قابل ملاحظه ای از خود نشان ندادند. از نتایج این آزمایشات در تعیین ظرفیت نظری نهایی و مجاز تیرها استفاده خواهد شد.

#### ۴-۲- آزمایش فشار بر روی نمونه های بتون

برای به دست آوردن مقاومت فشاری بتون مورد استفاده در ساخت تیرها، تعداد چهار نمونه مکعبی استاندارد ( $15 \times 15 \times 15$ ) از بتون هر یک از تیرها ساخته شده و همزمان با آزمایش هر تیر شکسته شد. میانگین مقاومت فشاری این چهار نمونه برای هر



(الف)

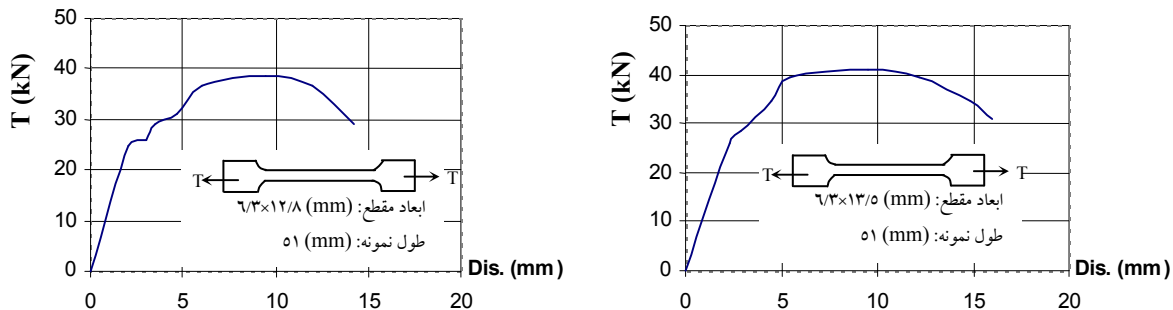


(ب)

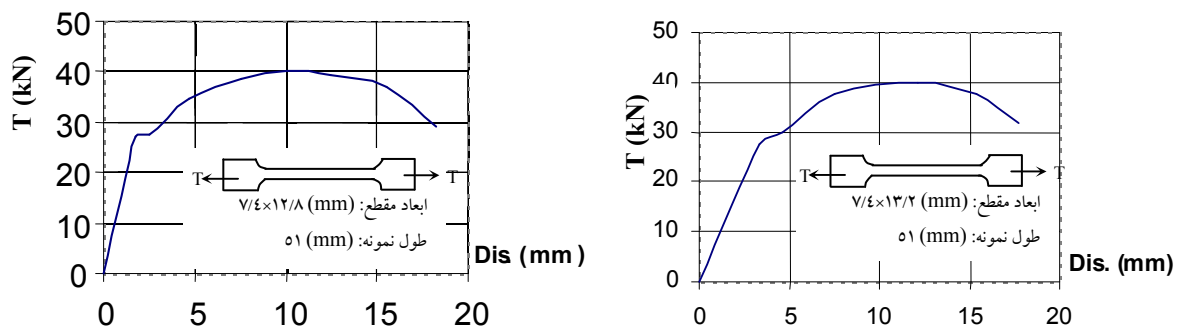
شکل ۴- تک نیمrix (الف) و زوج نیمrix (ب) لانهزنبری تحت اثر لنگر منفی

جدول ۱- نتایج آزمایش کشش روی چهار نمونه فولادی

درصد ازدیاد طول	مقاومت کششی $(N/mm^2)$	تنش تسليم $(N/mm^2)$	جدا شده از بال	شماره نمونه
۳۱/۴	۴۸۲	۳۰۶	IPE10	۱
۲۷/۸	۴۶۵	۳۱۰	IPE140	۲
۳۴/۷	۴۰۹	۲۸۱	IPE160	۳
۳۵/۸	۴۳۷	۲۹۰	IPE160	۴



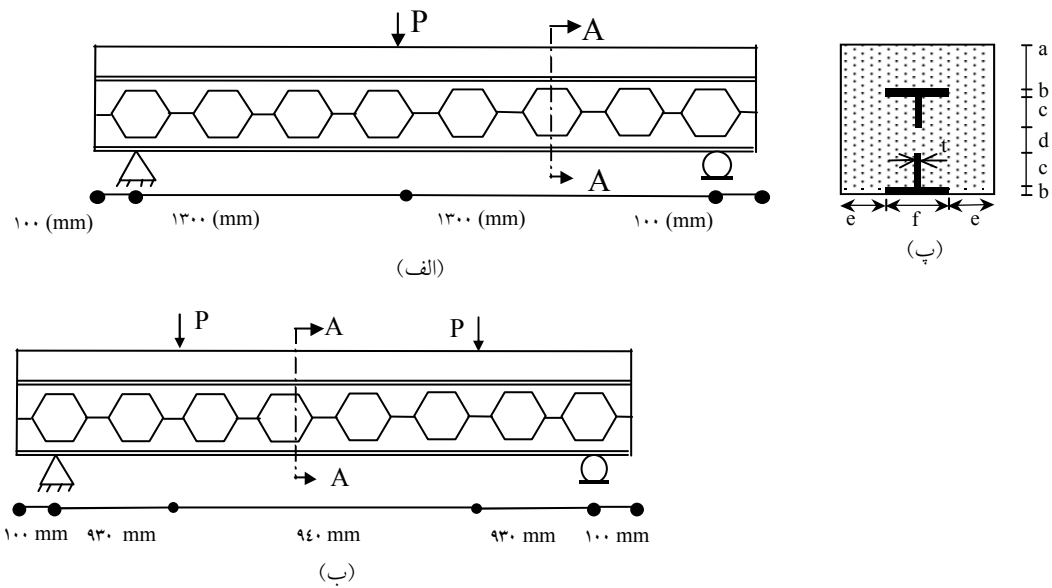
شکل ۵- منحنی نیرو- تغییر طول نمونه های کششی تهیه شده از IPE140



شکل ۶- منحنی نیرو- تغییر طول نمونه های کششی تهیه شده از IPE160

جدول ۲- میانگین مقاومت فشاری نمونه ها

شماره تیر	مقادیر مقاومت نمونه مکعبی ( $N/mm^2$ )	مقادیر مقاومت استوانه ای معادل ( $N/mm^2$ )
۱	۳۳/۶	۲۶/۹
۲	۲۰/۹	۱۶/۷
۳	۳۴/۳	۲۷/۴
۴	۳۰/۸	۲۴/۶
۵	۳۴/۵	۲۷/۶
۶	۲۴/۶	۱۷/۷
۷	۲۸/۶	۲۲/۹
۸	۲۹/۸	۲۳/۸



شکل ۷-الف: مقطع طولی تیر ۱، ۲، ۴، ۵، ۶ و ۷-ب: مقطع عرضی تیر ۳، ۴، ۵ و ۸-پ: مقطع طولی تیر ۳، ۷ و ۸

اندازه‌گیری شد که نتایج آنها در شکل‌های (۸)، (۹) و (۱۰) معنکس شده است.

**۷- مقایسه نتایج آزمایشها با نظری پنجگانه**  
برای هر یک از تیرها بار مجاز بر اساس پنج روش نظری محاسبه و در جداول ۵ الی ۱۲ درج شده است. چنانچه بار گسیختگی تیرهای به دست آمده از آزمایشها را بر بارهای مجاز به دست آمده تقسیم کنیم، ضرایب اطمینان در برابر گسیختگی هر یک از روش‌های نظری محاسبه خواهد شد. همان‌طور که از ضرایب اطمینان محاسبه شده در این جداول مشاهده می‌شود، روش‌های اول و دوم نظری برای محاسبه بار مجاز تیرهای لانه‌زنیوری مدفون در بتون اقتصادی نبوده و روش‌های سوم، چهارم و پنجم روش‌های معقولی به نظر می‌آیند که می‌توان در طراحی این نوع تیرها از آنها استفاده کرد.  
تغییر مکانهای نظری وسط دهانه تیرها به ازای بار مجاز به دست آمده از روش پنجم محاسبه شده و همراه با تغییر مکانهای عملی به دست آمده از آزمایش در جدول (۱۳) درج

تیرهای شماره ۱، ۲، ۳ و ۴ از نوع CCIPE140 و تیرهای ۵، ۶، ۷ و ۸ از نوع CCIPE160 بودند که بارگذاری تیرهای شماره ۱، ۲، ۴، ۵ و ۶ به صورت یک بار متمرکز در وسط دهانه و بارگذاری تیرهای شماره ۳، ۷ و ۸ به صورت دو بار متمرکز در یک سوم دهانه بودند. مقادیر  $a$ ,  $b$ ,  $c$ ,  $d$ ,  $e$ ,  $f$  و  $t$  مربوط به مقطع کلیه تیرهای آزمایش شده شکل (۷)، (۸) در جدول (۳) درج شده‌اند. لازم به ذکر است که در هیچ یک از این تیرها از گل میخ و یا برشگیر استفاده نشد.

## ۶- آزمایش و بارگذاری تیرها

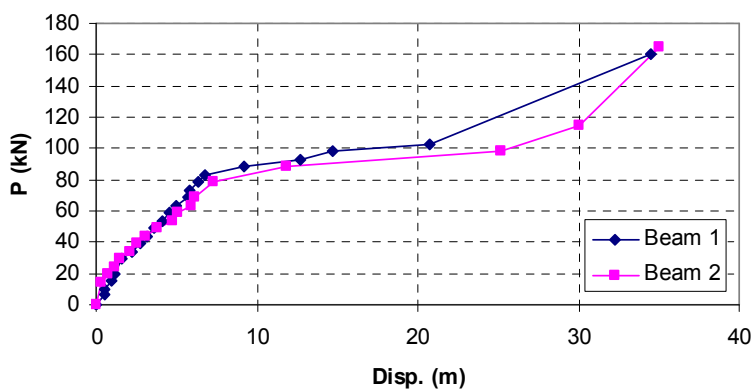
کلیه تیرهای هشتگانه مطابق آنچه که در قبل ذکر شد تا حد گسیختگی بارگذاری شد. نوع گسیختگی کلیه تیرها از نوع خمشی بوده و در محل لنگر حداکثر به شکل خرد شدن بتون در ناحیه فشاری بتون و گسیخته شدن قسمت تحت کشش IPE اتفاق افتاد. لازم به ذکر است که در هیچ یک از تیرها گسیختگی برشی اتفاق نیفتاد. بار گسیختگی کلیه تیرها در جدول (۴) ذکر شده است. در خلال آزمایش تیرها، تغییر مکان وسط دهانه نیز

جدول ۳- ابعاد تیرهای آزمایش شده بر حسب میلیمتر

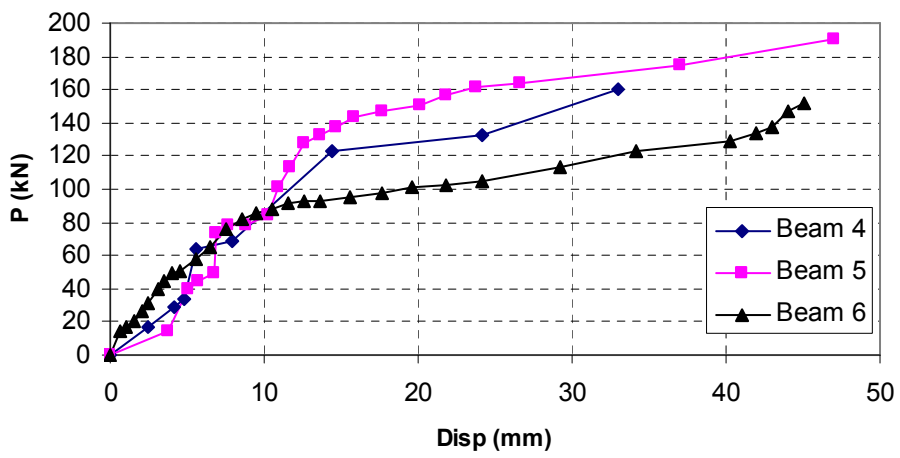
t	f	e	d	c	b	a	نوع تیر	شماره تیر
۴/۷	۷۳	۱۲۵/۵	۱۰۹/۵	۲۴/۱	۷/۹	۷۲/۲	CCIP140	۱
۴/۷	۷۳	۱۱۸/۵	۱۰۹/۵	۲۴/۱	۷/۹	۸۳/۵	CCIP140	۲
۴/۷	۷۳	۱۵۳/۵	۱۰۹/۵	۲۴/۱	۷/۹	۸۳/۵	CCIP140	۳
۴/۷	۷۳	۱۱۸/۵	۱۰۹/۵	۲۴/۱	۷/۹	۱۰۸/۵	CCIP140	۴
۵/۲	۸۲	۱۳۹	۱۶۲/۵	۳۲/۶	۷/۴	۸۷/۵	CCIP160	۵
۵/۲	۸۲	۱۰۰	۱۶۲/۵	۳۲/۶	۷/۴	۰	CCIP160	۶
۵/۲	۸۲	۱۴۷/۵	۱۶۲/۵	۳۲/۶	۷/۴	۸۲/۵	CCIP160	۷
۵/۲	۸۲	۱۴۱/۵	۱۶۲/۵	۳۲/۶	۷/۴	۹۴/۵	CCIP160	۸

جدول ۴- بار شکست تیرها بر حسب کیلو نیوتن

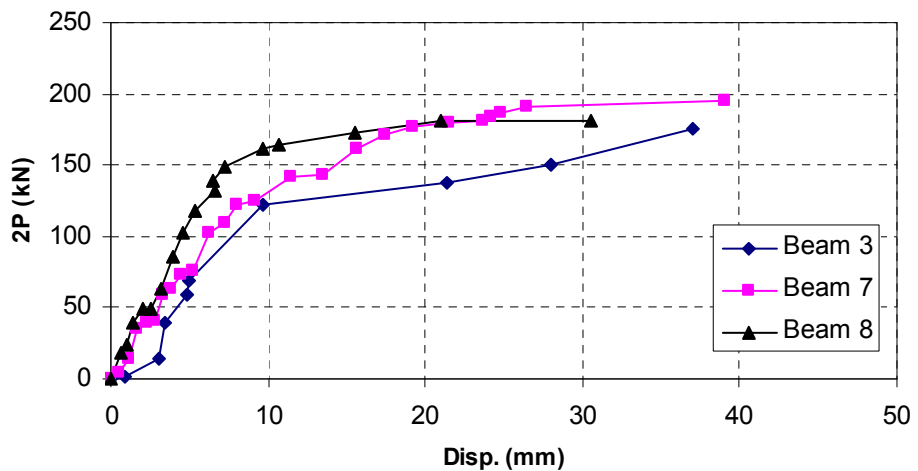
نوع تیر	بار شکست تیر ( $P_u$ )	شماره تیر
CCIP140	۱۶۰	۱
CCIP140	۱۶۵	۲
CCIP140	۸۷,۵	۳
CCIP140	۱۶۰	۴
CCIP160	۱۹۰	۵
CCIP160	۱۵۵	۶
CCIP160	۹۷,۵	۷
CCIP160	۹۵	۸



شکل ۸- منحنی نیرو- تغییر مکان وسط دهانه تیرهای ۱ و ۲



شکل ۹- منحنی نیرو- تغییر مکان وسط دهانه تیرهای ۴، ۵ و ۶



شکل ۱۰- منحنی نیرو- تغییر مکان وسط دهانه تیرهای ۳، ۷ و ۸

جدول ۵- ضرایب اطمینان تیر شماره ۱ در برابر بار گسیختگی ( $P_u = 160 \text{ kN}$ ) برای پنج روش تحلیلی

ضرایب اطمینان	بار مجاز P بر حسب kN	روش تحلیل
۱۰/۵	۱۵/۲	۱
۴/۹۵	۳۲/۳	۲
۳/۹۱	۴۰/۹	۳
۳/۵۵	۴۵	۴
۳/۱۹	۵۰/۲	۵

جدول ۶- ضرایب اطمینان تیر شماره ۲ در برابر بار گسیختگی ( $P_u = 165 \text{ kN}$ )  
برای پنج روش تحلیلی

ضریب اطمینان	بار مجاز P بر حسب kN	روش تحلیل
۱۰/۸	۱۵/۲	۱
۵/۱	۳۲/۳	۲
۴/۰۳	۴۰/۹	۳
۳/۵۲	۴۶/۹	۴
۳/۳۷	۴۸/۹	۵

جدول ۷- ضرایب اطمینان تیر شماره ۳ در برابر بار گسیختگی ( $P_u = 87/۵ \text{ kN}$ )  
برای پنج روش تحلیلی

ضریب اطمینان	بار مجاز P بر حسب kN	روش تحلیل
۱۰/۱۵	۸/۶۲	۱
۳/۶	۲۴/۳	۲
۲/۸۴	۳۰/۷۵	۳
۲/۴۴	۳۵/۹	۴
۲/۱	۴۱/۶۷	۵

جدول ۸- ضرایب اطمینان تیر شماره ۴ در برابر بار گسیختگی ( $P_u = 160 \text{ kN}$ )  
برای پنج روش تحلیلی

ضریب اطمینان	بار مجاز P بر حسب kN	روش تحلیل
۱۰/۵	۱۵/۲	۱
۴/۹۵	۳۲/۳	۲
۳/۹۱	۴۰/۹	۳
۳/۱	۵۲/۱	۴
۲/۶۲	۶۰/۹	۵

جدول ۹- ضرایب اطمینان تیر شماره ۵ در برابر بار گسیختگی ( $P_u = 190 \text{ kN}$ )  
برای پنج روش تحلیلی

ضریب اطمینان	بار مجاز P (kN)	روش تحلیل
۸/۱	۲۳/۵۹	۱
۴/۶۸	۴۰/۶۳	۲
۳/۶۹	۵۱/۴۶	۳
۳/۲۳	۵۸/۸	۴
۲/۷۸	۶۸/۳۳	۵

جدول ۱۰- ضرایب اطمینان تیر شماره ۶ در برابر بار گسیختگی ( $P_u = 155\text{ kN}$ )  
برای پنج روش تحلیلی

ضریب اطمینان	بار مجاز P (kN)	روش تحلیل
۶/۵۷	۲۳/۵۹	۱
۳/۸۲	۴۰/۶۳	۲
۳/۰۱	۵۱/۴۶	۳
۳/۴۶	۴۴/۶۹	۴
۳/۶	۴۸/۸	۵

جدول ۱۱- ضرایب اطمینان تیر شماره ۷ در برابر بار گسیختگی ( $P_u = 97/5\text{ kN}$ )  
برای پنج روش تحلیلی

ضریب اطمینان	بار مجاز P بر حسب kN	روش تحلیل
۷/۱۸	۱۳/۵۷	۱
۳/۲	۳۰/۵۸	۲
۲/۵۲	۳۸/۷۴	۳
۲/۲۴	۴۵/۵	۴
۲	۵۲/۳۴	۵

جدول ۱۲- ضرایب اطمینان تیر شماره ۸ در برابر بار گسیختگی ( $P_u = 95\text{ kN}$ )  
برای پنج روش تحلیلی

ضریب اطمینان	بار مجاز P بر حسب kN	روش تحلیل
۷	۱۳/۵۷	۱
۳/۱۱	۳۰/۵۸	۲
۲/۴۵	۳۸/۷۴	۳
۲/۱	۴۵/۵	۴
۱/۸۱	۵۲/۳۴	۵

جدول ۱۳- مقایسه تغییر مکانهای نظری و عملی وسط دهانه تیرها به ازای بار مجاز حاصل از روش پنجم

تغییر مکان نظری mm	تغییر مکان عملی mm	بار مجاز P بر حسب kN	شماره تیر
۲/۴	۳/۷	۵۰/۲	۱
۲/۲	۳/۷	۴۸/۹	۲
۴/۵	۵/۵	۴۱/۷	۳
۳/۴	۵/۰	۶۰/۹	۴
۳/۱	۶/۷	۷۸/۳	۵
۴/۹	۳/۴	۴۳	۶
۳/۹	۶/۰	۴۸/۸	۷
۳/۸	۴/۵	۵۲/۳	۸

بوده و حاشیه اینمی مناسبی در برابر گسیختگی تیر به وجود می آورد. باز مجاز حاصل از این روش تغییر مکانهایی را به وجود می آورد که در محدوده الاستیک است.

۳- روش اول صرفاً برای تیرهای لانه زنبوری غیر مدافون در بتن مناسب بوده و کاربرد آن در مورد تیرهای مدافون در بتن اصلاً اقتصادی نیست.

۴- روشهای ۳ و ۴ نیز برای طراحی تیرهای لانه زنبوری مدافون در بتن مناسب است، ولی از نظر اولویت بعد از روش پنجم قرار می گیرند.

۵- توصیه می شود تا زمانی که آزمایشاتی بر روی تیرهای لانه زنبوری ممتد (چند دهانه) انجام نگرفته است، از روش سوم برای طراحی این تیرها استفاده شود.

شده اند. با توجه به اینکه در محدوده بار مجاز رفتار تیرها الاستیک است، لذا از فرمولهای الاستیک برای تعیین تغییر مکانهای نظری استفاده شده است.

## ۸- نتیجه گیری

با توجه به محاسبات نظری و نیز آزمایشات انجام شده نتایج زیر حاصل می شود:

۱- بتن محصور کننده تیرهای لانه زنبوری ظرفیت تیر را به مقدار قابل توجهی افزایش می دهد، لذا توصیه می شود پوشش بتنی بر روی تیر لانه زنبوری IPE140 و IPE160 از هفت سانتیمتر کمتر نباشد. بدینهی است که در تیرهای با مقطع بزرگتر این حداقل افزایش می یابد.

۲- روش پلاستیک برای طراحی تیرهای لانه زنبوری (روش پنجم) اقتصادی ترین روش برای طراحی تیرهای لانه زنبوری

## واژه نامه

1. collapse load
2. american Concrete Institute
3. American Institute of Steel Construction

## مراجع

۴. نجات اردبیلی، ک و مؤمنی، ع. م، "تیرهای لانه زنبوری مدافون در بتن در سقفهای با سیستم تیرچه و بلوک"، مجموعه مقالات چهارمین کنفرانس بین المللی عمران، دانشگاه صنعتی شریف، ص ۲۰۷-۱۹۸، اردیبهشت ۱۳۷۶.
5. *Manual of Steel Construction, Allowable Stress Design (ASD)*, 9th Ed, American Institute of Steel Construction (AISC), New York, 1989.
6. ACI Committee 318, Building Code Requirement, ACI 318.4R.89, American Concrete Institute, 1989..

۱. خواجه کرم الدین، ع، "تقویت تیرهای لانه زنبوری به کمک بتن"، دانشگاه فردوسی مشهد، معاونت پژوهشی، ۱۳۷۵.
2. Blodgett, O.W., *Design of Welded Structure*, Section 4.7, James F., Lincoln Arc Welding Foundation, 1966.
۳. مقررات ملی ساختمانی ایران، مبحث دهم، طرح و اجرای ساختمانهای فولادی، ص. ۱۵۵، وزارت مسکن و شهرسازی، تهران، ۱۳۷۱.